

Born 近似による弾性波動の逆問題の解析

鴻池組

正員

○喜多秀樹

京都大学工学部

正員

丹羽義次

京都大学工学部

正員

廣瀬壯一

1. はじめに

本研究は、弾性波動の分野における逆問題を扱かたものである。逆問題の解析法は、各分野において様々な方法が考案されていりるが、本研究では、散乱波動自体のもつ特徴を大いに生かし、より解析的な手法によることで逆問題を解析する。すなわち、本研究は、積分方程式による解表現に、Born近似等の近似を導入し、散乱波を特性関数なる場所の関数と結びつけることによりて、弾性体内に存在する異質物（Inclusion、またはCavity）の形状を、数値実験的に明らかにしようと試みるものである。

2. 解析仮定

Fig.1に示すように、2次元無限均質等方弾性体 D° 内に、散乱体D（Inclusion、またはCavity）が存在すると仮定する。また、それらの弾性定数、および密度は既知であるものとする。（ \circ は D° 内の量を表す。）

境界 ∂D 上の境界条件は、Inclusionの場合、変位と応力vectorの連続性 $\bar{\gamma}$ 、Cavityの場合、応力vectorが0となる条件で与えられる。

入射波 u^i は、点 \vec{x}_0 における集中物体力を震源とする円筒波であるとし、点 $\vec{x}(\in D^\circ)$ における散乱波を観測する。また、点 \vec{x}_0 、および点 \vec{x} は、Dの代表長に比べ、十分遠方にある（Farfieldである）とする。さらに、本研究では、入射・観測の方法として、例えは、点 \vec{x}_0 におけるP波を入射し、点 \vec{x} における散乱波のP波成分のみを検出するものとする。（P-P Scatteringと呼ぶ。）従って、2次元面内問題を扱かた本研究では、その他の入射・観測法として、SV-SV、P-SV、およびSV-P Scatteringの各ケースが考えられる。

上記の様な仮定の下で、点 \vec{x} における散乱波 $u_i^s(\vec{x})$ から、散乱体Dの形状決定を試みる。なお、 $u_i^s(\vec{x})$ は、境界積分方程式法によることで数値解析し、得るものとした。

3. 逆問題としての定式化

3-1. 散乱波の積分表現 Inclusion Dによる、点 \vec{x} における散乱波 $u_i^s(\vec{x})$ は、動弾性問題の基本解 $U_i^j(\vec{x}, \vec{y})$ を用いて、次の様に表わされる。

$$u_i^s(\vec{x}, \vec{y}_0) = \int_D [\tilde{p} \omega U_i^j(\vec{x}, \vec{y}) u_j(\vec{y}, \vec{y}_0) - \tilde{C}_{jkm} U_i^{k_m}(\vec{x}, \vec{y}) u_j(\vec{y}) e(\vec{y}, \vec{y}_0)] dS_y \quad (1)$$

ただし、 ω 、 e はそれぞれ、角振動数、全変位 $(\vec{u} + \vec{v})$ であり、 $\tilde{\cdot}$ はそれらの量の、対応する D° 内の値からの増分を表わす。（例えは、 $\tilde{p} = p - p^\circ$ ）また、 m は座標 x_m に関する微分を表わす。

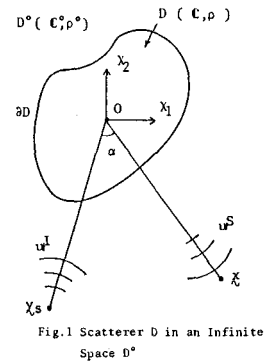


Fig.1 Scatterer D in an Infinite Space D°

3-2. Farfield 近似と Born 近似

2つの近似を導入して、式(1)を変形する。まず、2節で述べた仮定より、基本解 U_0^s の Farfield 項のみを考慮する。(Farfield 近似) 次に、散乱体 D 内における全変位 \bar{u}_s は、第1次近似として入射波の変位 \bar{u}_s^i に等しいと仮定する。(Born 近似) また、D が Cavity の場合は、境界 ∂D 上の全変位が、入射波の変位に等しいと近似する。以上の仮定から、散乱波は次の様な表現となる。

$$u_r^s(x, y_s) \approx i\mu \left(\frac{k_s^2}{4\rho\omega^2}\right)^{\frac{1}{2}} \frac{2}{k_L \sqrt{rr_s}} e^{ik_L(r+r_s)} (\bar{\rho} \omega^2 \hat{x}_j \hat{y}_j + k_s^2 \bar{C}_{jlm} \hat{x}_j \hat{x}_l \hat{y}_m \hat{y}_l) \cdot \int_D e^{-ik_L(\hat{x}+\hat{y}_s) \cdot \hat{x}} dS_x \quad (2)$$

ただし、上式は P-P Scattering の場合であり、 u_r^s は散乱波の P 波成分を表す。また、 k_L, k_s はそれぞれ、P 波と SV 波の波数、 r, r_s 、および、 \hat{x}, \hat{y}_s はそれぞれ、vector x, y_s の大きさ、および単位 vector を表す。なお、D が Cavity の場合は、 \bar{C}_{jlm} と $\bar{\rho}$ をそれぞれ、 $-C_{jlm}^0 k - \rho^0$ に置換えた形式で表現される。

3-3. 特性関数

ここで、 $\chi(x) = 0 \ (x \in D^c), \chi(x) = 1 \ (x \in D)$ なる特性関数を定義し、その Fourier 変換を考えると、

$$\tilde{\chi}(k) = \int_{D^c} \chi(x) e^{-ikx} dS_x = \int_D e^{-ikx} dS_x \quad (3)$$

となり、 $\chi = k_L(\hat{x} + \hat{y}_s)$ の関係の下で、式(2)右辺の積分と同値である。従って、上式の逆 Fourier 変換を考え、式(2)を代入すると、

$$\chi(k) = -\frac{2}{\pi} \frac{\rho^2}{k_L^2} \frac{i k_L \sqrt{r r_s}}{k_L \left(\bar{\rho} \omega^2 \hat{x}_j \hat{y}_j + \frac{k_s^2}{k_L^2} \bar{C}_{jlm} \hat{x}_j \hat{x}_l \hat{y}_m \hat{y}_l \right)} \int_0^\infty e^{-ik_L(r+r_s)} \int_{U_r^s(x)}^{2\pi} e^{ik_L(\hat{x} + \hat{y}_s) \cdot \hat{x}} d\theta dr \quad (4)$$

となる。すなわち、式(4)によると、散乱波 $u_r^s(x)$ より $\chi(k)$ を再構成することができ、この関数の性質から、散乱体 D の形状表現が可能となる。

4. 数値解析例

Fig.2 の様に、散乱体 D の形状が円形で、しかもその中心が原点と一致する場合は、特性関数が半径方向の距離だけの関数となり、1次元問題に帰着される。Fig.3, Fig.4 は、その場合の解析例であり、破線は、求められたべき特性関数を表す。Fig.5, Fig.6 は、これぞ、散乱体 D が Inclusion, Cavity の場合の特性関数の分布である。いずれも2次元問題と1次元問題とを例であり、おおよそ、D の形状が把握できることがわかる。なお、上述の近似の精度により、様子は10メタが、特性関数に大きく影響するが、特性関数を修正することによって、よりより精度の高い分布が得られることは明らかとなる。

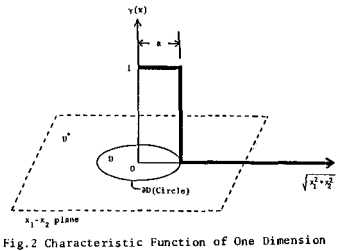


Fig.2 Characteristic Function of One Dimension

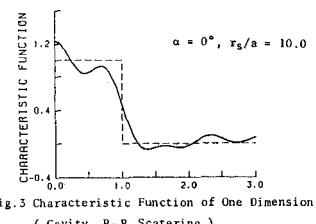


Fig.3 Characteristic Function of One Dimension (Cavity, P-P Scattering)

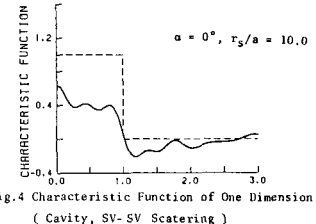


Fig.4 Characteristic Function of One Dimension (Cavity, SV-SV Scattering)

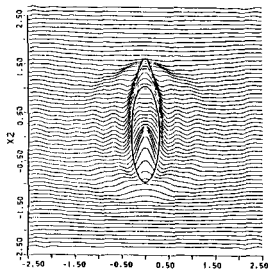


Fig.5 Characteristic Function of Two Dimensions (Inclusion, SV-SV Scattering, μ^0/μ = 0.7)

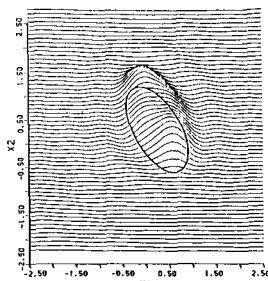


Fig.6 Characteristic Function of Two Dimensions (Cavity, P-P Scattering)